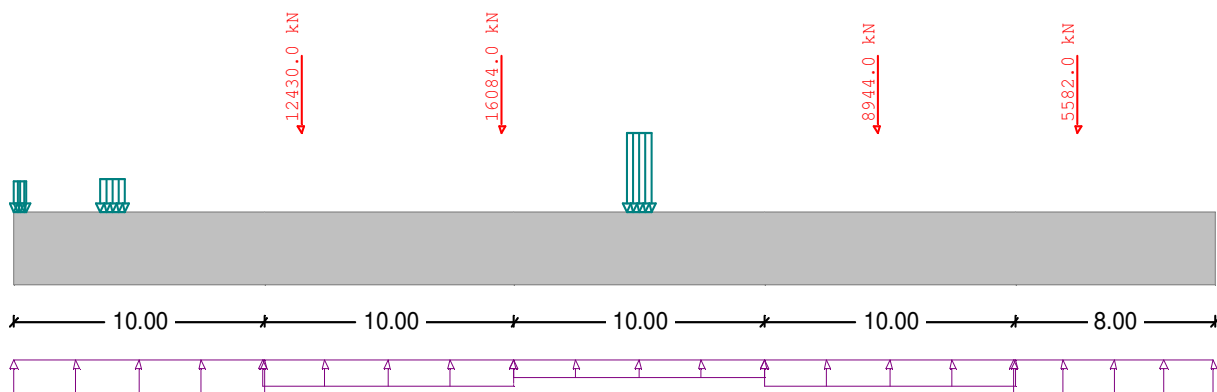


Základový pas



Návrh dle ČSN EN 1992-1-1

Materiálové parametry a krytí betonem

Beton : C20/25
Bet. výztuž: B500M
s vyloučením tah. pružin

Osově krytí výztuže $d_{lh} = 15.0$ cm $d_{ld} = 15.0$ cm

Systém s průřezy a průběhem uložení

Pole	Délka [m]	El.uložení [MN/m ³]	Šířka [m]	Výška [m]	Dělení	Uložení-le	Uložení-pr
1	10.00	20.00	8.850	2.733	10		
2	10.00	15.00	8.850	2.733	10		
3	10.00	10.00	8.850	2.733	10		
4	10.00	15.00	8.850	2.733	10		
5	8.00	20.00	8.850	2.733	10		

Zatížení

Osam.zatížení	a [m]	P [kN]	M [kNm]
	11.500	12430.00	0.00
	19.500	16084.00	0.00
	34.500	8944.00	0.00
	42.500	5582.00	0.00

Zatížení úseků	a0 [m]	a1 [m]	p [kN/m]
	0.000	0.500	3776.00
	3.500	4.500	4271.00
	24.500	25.500	9980.50

Vnitřní účinky a návrh

Návrh jako Nosník
Pro návrh se vnitřní účinky navýší faktorem $\gamma = 1.35$

Pole	Délka [m]	Moment [kNm]	Pos.síla [kN]	Vz [mm]	Dy [*1000]	As-h [cm ²]	As-d [cm ²]	Třmínky [cm ² /m]	Kont.nap. [MN/m ²]
1	0.00	0.0	0.0	4.01	-0.62	0.0	0.0	63.3	0.080
1	1.00	-1043.0	-1123.6	4.63	-0.62	12.6	0.0	63.3	0.093



1	2.00	-1738.6	-249.2	5.25	-0.63	21.1	0.0	63.3	0.105
1	3.00	-1504.4	736.2	5.88	-0.63	18.2	0.0	63.3	0.118
1	4.00	-762.7	-301.8	6.52	-0.63	9.2	0.0	63.3	0.130

Dílec: Základový pas

Vnitřní účinky a návrh

Návrh jako Nosník

Pro návrh se vnitřní účinky navýší faktorem $\gamma = 1.35$

Pole	Délka [m]	Moment [kNm]	Pos.síla [kN]	Vz [mm]	Dy [*1000]	As-h [cm ²]	As-d [cm ²]	Třmínky [cm ² /m]	Kont.nap. [MN/m ²]
1	5.00	-2070.7	-1227.7	7.15	-0.64	25.1	0.0	63.3	0.143
1	6.00	-2647.0	93.9	7.79	-0.64	32.1	0.0	63.3	0.156
1	7.00	-1844.9	1529.4	8.43	-0.65	22.4	0.0	63.3	0.169
1	8.00	450.3	3080.3	9.09	-0.65	0.0	5.4	63.3	0.182
1	9.00	4354.6	4747.8	9.75	-0.64	0.0	53.0	63.3	0.195
1	10.00	9984.8	6532.1	10.41	-0.63	0.0	122.6	63.3	0.208
2	0.00	9984.8	6532.1	10.41	-0.63	0.0	122.6	63.3	0.156
2	1.00	17222.0	7956.4	11.05	-0.60	0.0	212.9	63.3	0.166
2	2.00	19710.1	-2967.1	11.63	-0.55	0.0	244.3	63.3	0.174
2	3.00	17526.9	-1387.5	12.16	-0.51	0.0	216.8	63.3	0.182
2	4.00	16957.6	259.7	12.65	-0.48	0.0	209.6	63.3	0.190
2	5.00	18067.5	1970.3	13.11	-0.44	0.0	223.6	63.3	0.197
2	6.00	20917.9	3739.8	13.54	-0.39	0.0	259.5	63.3	0.203
2	7.00	25565.1	5563.3	13.93	-0.34	0.0	318.4	63.3	0.209
2	8.00	32060.4	7434.7	14.26	-0.28	0.0	401.5	63.3	0.214
2	9.00	40448.0	9346.4	14.53	-0.20	0.0	509.9	63.3	0.218
2	10.00	42721.3	-4796.3	14.69	-0.10	0.0	539.5	63.3	0.220
3	0.00	42721.3	-4796.3	14.69	-0.10	0.0	539.5	63.3	0.147
3	1.00	38575.9	-3493.7	14.73	-0.01	0.0	485.6	63.3	0.147
3	2.00	35734.0	-2190.7	14.70	0.07	0.0	448.8	63.3	0.147
3	3.00	34192.3	-894.3	14.59	0.14	0.0	428.9	63.3	0.146
3	4.00	33941.0	389.0	14.40	0.22	0.0	425.7	63.3	0.144
3	5.00	33716.3	-3337.4	14.14	0.30	0.0	422.8	63.3	0.141
3	6.00	27257.2	-7090.8	13.79	0.36	0.0	340.0	63.3	0.138
3	7.00	20770.8	-5888.1	13.38	0.42	0.0	257.6	63.3	0.134
3	8.00	15468.2	-4723.9	12.92	0.46	0.0	190.9	63.3	0.129
3	9.00	11309.1	-3601.4	12.44	0.49	0.0	139.0	63.3	0.124
3	10.00	8250.8	-2522.9	11.93	0.51	0.0	101.0	63.3	0.119
4	0.00	8250.8	-2522.9	11.93	0.51	0.0	101.0	63.3	0.179
4	1.00	6508.4	-973.5	11.41	0.52	0.0	79.5	63.3	0.171
4	2.00	6280.5	506.0	10.88	0.54	0.0	76.7	63.3	0.163
4	3.00	7496.6	1914.3	10.34	0.55	0.0	91.7	63.3	0.155
4	4.00	10084.9	3250.1	9.78	0.57	0.0	123.8	63.3	0.147
4	5.00	9499.8	-4433.2	9.20	0.60	0.0	116.5	63.3	0.138
4	6.00	5663.7	-3252.8	8.58	0.61	0.0	69.1	63.3	0.129
4	7.00	2966.7	-2155.1	7.96	0.62	0.0	36.0	63.3	0.119
4	8.00	1325.7	-1140.7	7.33	0.63	0.0	16.0	63.3	0.110
4	9.00	657.4	-210.0	6.70	0.63	0.0	7.9	63.3	0.100
4	10.00	878.0	637.3	6.07	0.63	0.0	10.6	63.3	0.091
5	0.00	878.0	637.3	6.07	0.63	0.0	10.6	63.3	0.121
5	0.80	1722.1	1461.2	5.57	0.63	0.0	20.9	63.3	0.111
5	1.60	3196.9	2213.9	5.06	0.64	0.0	38.9	63.3	0.101
5	2.40	5245.4	2895.4	4.56	0.64	0.0	64.0	63.3	0.091
5	3.20	3902.8	-2077.7	4.04	0.65	0.0	47.5	63.3	0.081
5	4.00	2459.4	-1543.4	3.51	0.66	0.0	29.8	63.3	0.070
5	4.80	1413.3	-1084.1	2.98	0.66	0.0	17.1	63.3	0.060
5	5.60	704.7	-700.1	2.45	0.66	0.0	8.5	63.3	0.049
5	6.40	273.0	-391.5	1.91	0.66	0.0	3.3	63.3	0.038
5	7.20	58.2	-158.1	1.38	0.66	0.0	0.7	63.3	0.028
5	8.00	0.0	0.0	0.85	0.66	0.0	0.0	63.3	0.017

Dílec: Základový pas

Výsledková grafika

